

УДК 533.6.011.5

**ИССЛЕДОВАНИЕ СВЕРХЗВУКОВОГО ОБТЕКАНИЯ УДЛИНЕННЫХ
ЗАТУПЛЕННЫХ ТЕЛ С ЭЛЛИПТИЧЕСКОЙ ФОРМОЙ
ПОПЕРЕЧНОГО СЕЧЕНИЯ**

А. В. АНТОНЕЦ, Ю. М. ЛИПНИЦКИЙ

(Москва)

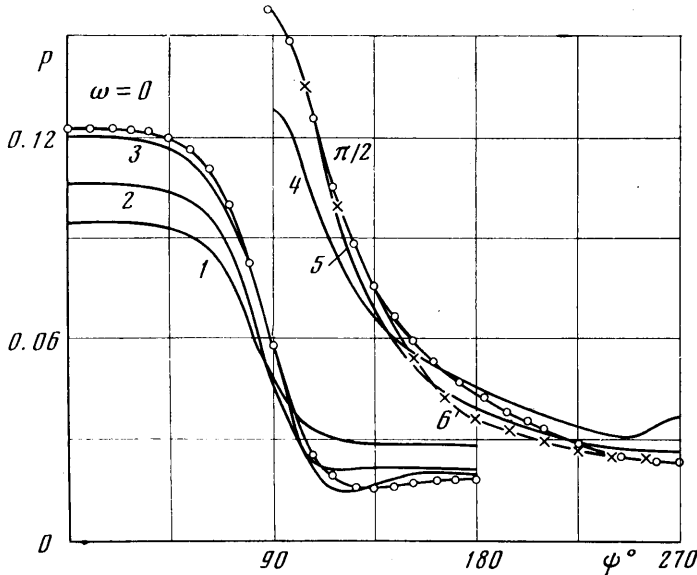
К настоящему времени разработаны вычислительные алгоритмы и проведены систематические исследования пространственного сверхзвукового обтекания осесимметричных тел потоком как совершенного газа, так и потоком воздуха с равновесными и неравновесными физико-химическими превращениями [¹⁻⁶]. Подробно изучены конические течения около тел с различной формой поперечного сечения в широком диапазоне углов атаки [⁷⁻¹¹]. По мере дальнейшего развития численных методов очередной задачей становится анализ сверхзвукового обтекания затупленных тел большого удлинения с достаточно произвольной формой поперечных сечений. В данной работе рассматриваются эффекты существенно пространственного (без плоскостей симметрии) обтекания тел, поперечные сечения которых представляют собой эллипсы с постоянным или переменным отношением осей по длине тела.

Решение задачи о сверхзвуковом обтекании затупленного тела большого удлинения строится в два этапа. Сначала определяются газодинамические функции в до- и трансзвуковой области течения около лобовой поверхности тела. Для этого применяется метод установления [¹²], позволяющий получить предельное (при $t \rightarrow \infty$) решение полной системы нестационарных уравнений газовой динамики от сравнительно произвольных начальных данных при независящих от времени граничных условиях. Из полученного в результате решения четырехмерной задачи стационарного распределения газодинамических функций извлекаются необходимые начальные данные для следующего этапа расчета сверхзвуковой области течения. На этом этапе в силу гиперболичности стационарной системы газодинамических уравнений по продольной координате x послойно решается трехмерная задача [⁵].

В общем случае пространственных течений направление вектора скорости однородного потока V задается двумя углами: углом атаки α между вектором скорости V и продольной осью тела x и углом собственного вращения ω , равного углу между вертикальной плоскостью симметрии тела и плоскостью угла атаки, содержащей ось x и вектор скорости набегающего потока. Для эллиптического конуса естественным затуплением является трехосный эллипсоид с таким же, как у конуса, отношением поперечных осей c/b (полусоси a, b, c направлены вдоль декартовых координат x, y, z). Расчет течения около эллипсоида проводится в сферической системе координат r, θ, ψ с центром, сдвигаемым к критической точке относительно центра эллипсоида, чтобы получить начальные данные для расчета обтекания конусов с максимально возможными углами полурасщора. Плоскость $\theta = \pi/2$, являясь одной из расчетных, выбирается целиком лежащей в сверхзвуковой области течения. Продолжение решения от $\theta = \pi/2$ вниз по потоку осуществляется в цилиндрической системе координат x, ψ, r . Отсутствие плоскости симметрии течения приводит к необходимости рассматривать полную область по меридиональному углу $0 \leq \psi \leq 2\pi$. Других, непосредственно не связанных с расширением рассчитываемой области течения, изменений в алгоритме [⁵] не требуется. Газ предполагается совершенным с отношением удельных теплоемкостей $\gamma = c_p/c_v = 1.4$.

Рассмотрим обтекание затупленного по эллипсоиду ($a : b : c = 1 : 1 : 1.5$) эллиптического конуса с отношением полуосей $b : c = 1 : 1.5$ и углом полурасщора в плоскости малой оси $\theta_s = 8^\circ$ сверхзвуковым потоком газа при $M_\infty = 6$; $\alpha = 10^\circ$; $\omega = 0, \pi/6, \pi/3, \pi/2$. Если $\omega = 0$ или $\omega = \pi/2$, то течение, очевидно, имеет плоскость симметрии, и на больших удалениях вниз по потоку от затупления результаты можно сравнить с асимптотическими решениями для конических течений, полученными аналогично [¹¹]. На фиг. 1 линиями с индексом 0 показаны распределения давления p на остром эллиптическом конусе при $\omega = 0$ и $\omega = \pi/2$. Давление отнесено к удвоенному скоростному напору набегающего потока $2q_\infty = \rho_\infty V_\infty^2$. Кривыми с индексами 1-6 нанесены результаты для затупленного конуса при $X = x/a = 5.4, 10.1, 16.6$ ($\omega = 0$); $5.4, 10.4, 14.9$ ($\omega = \pi/2$). Координата x отсчитывается от носика тела. Видно, что с увеличением x распределение давления по меридиональному углу ψ на затупленном эллиптическом конусе приближается к асимптотическому коническому решению. В то же время из-за энтропийного эффекта значения плотности (температуры) отличаются примерно в 3 раза. Для острого конуса энтропийная функция $\vartheta(\psi) = p \cdot \rho^{-\gamma}$ на поверхности тела (нулевой линии тока) принимает значение 0.0173, а для затупленного — 0.081.

Изменение давления на теле $p(\psi)$ при увеличении ω от 0 до $\pi/2$ при $X=13.1$ иллюстрируется на фиг. 2 (индексы на кривых 1÷4 соответствуют $\omega=0, \pi/6, \pi/3, \pi/2$). По этим распределениям давления можно проследить, как сдвигается точка растекания поперечного потока (максимум давления) из плоскости $\psi=0$ в плоскость



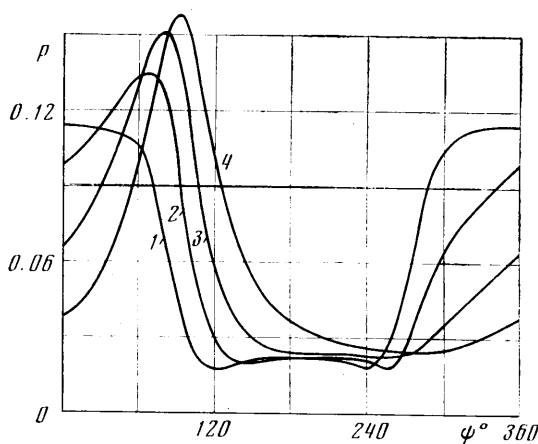
Фиг. 1

$\psi=\pi/2$ при увеличении угла собственного вращения ω . Одновременно с перемещением этой точки увеличиваются максимальные уровни давления и пропадает «полка» давления на наветренной стороне тела, что связано с изменением характера зависимости местного угла атаки α_m от меридионального угла φ .

Для произвольного тела $r(x, \psi)$ местный угол атаки определяется формулой

$$\sin \alpha_m = (v_\infty / |v_\infty|, n)$$

где n – единичный вектор внутренней нормали к поверхности $r=r(x, \psi)$.



Фиг. 2

пользовавшись результатами систематических расчетов осесимметричного сверхзвукового обтекания затупленных конусов [3], можно приближенно определить распределение давления вдоль образующих эллиптического конуса. Сравнение точных расчетов (I) с результатами метода местных затупленных конусов (II) при $\omega=0$

В частном случае для тел с эллиптическим поперечным сечением (полуоси эллипсов $b(x)$ и $c(x)$ лежат в двух взаимно перпендикулярных плоскостях симметрии) имеем:

$$\begin{aligned} \sin \alpha_m = & [\delta^3 b' \cos^2 \psi + c' \sin^2 \psi] \cdot \\ & \cdot \cos \alpha + \gamma \delta^2 \cos^2 \psi + \sin^2 \psi] \cdot \\ & \cdot (\delta^2 \cos \psi \cos \omega + \sin \psi \sin \omega) \sin \alpha] \cdot \\ & \cdot [(\delta^3 b' \cos^2 \psi + c' \sin^2 \psi)^2 + \\ & + (\delta^2 \cos^2 \psi + \sin^2 \psi) \cdot (\delta^4 \cos^2 \psi + \\ & + \sin^2 \psi)]^{-1/2} \end{aligned}$$

где $\delta=c/b$; $b'=ab/dx$; $c'=dc/dx$.

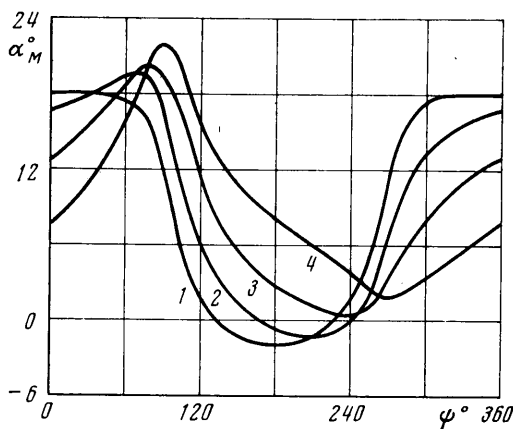
Зависимость $\alpha_m(\psi)$ для эллиптического конуса ($\delta=\text{const}=1.5$; $c'=\delta b'$; $b'=\tan \theta=0.1405$) показана на фиг. 3 для $\omega=0, \pi/6, \pi/3, \pi/2$ кривыми с индексами 1, 2, 3, 4. По функции $\alpha_m(\psi)$, вос-

приведено ниже.

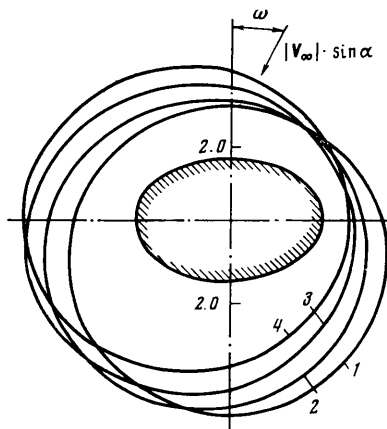
X	1	2	3	4	6	8	10	12.5	15
$\psi = 0^\circ$									
I	0.135	0.121	0.105	0.097	0.095	0.100	0.105	0.111	0.118
II	0.127	0.106	0.099	0.099	0.106	0.113	0.118	0.122	0.124
$\psi = 90^\circ$									
I	0.080	0.070	0.060	0.053	0.047	0.048	0.048	0.050	0.052
II	0.090	0.072	0.062	0.059	0.055	0.055	0.057	0.059	0.061
$\psi = 180^\circ$									
I	0.032	0.020	0.031	0.031	0.027	0.023	0.021	0.020	0.020
II	0.039	0.033	0.029	0.026	0.022	0.019	0.018	0.018	0.018

Обнаруживается заметное отличие как в значениях давления, полученных двумя способами (до 20%), так и в координате X точки минимума давления на наветренной стороне тела.

Влияние угла собственного вращения ω на отход ударной волны от боковой поверхности затупленного конуса показано на фиг. 4, где кривые 1–4 соответствуют



Фиг. 3



Фиг. 4

сечениям ударных волн плоскостью $X=5.61$, когда $\omega=0, \pi/6, \pi/3, \pi/2$. Отход ударной волны от поверхности тела слабо зависит от угла ω в окрестности двух полуплоскостей $\psi=135$ и 315° . Наименьшее влияние угла ω на давление на поверхности тела наблюдается для образующей $\psi=250^\circ$.

ω	Расчетные данные			Экспериментальные данные		
	C_τ	C_n	C_d	C_τ	C_n	C_d
0	0.305	0.290	0.550	0.300	0.300	0.555
$\pi/6$	0.300	0.245	0.555	0.300	0.260	0.560
$\pi/3$	0.300	0.170	0.595	0.300	0.215	0.600
$\pi/2$	0.295	0.155	0.605	0.300	0.175	0.610

Значения аэродинамических коэффициентов в связанный с телом системе координат x, y, z приведены ниже. Здесь в качестве характерных величин используются текущие значения длины и площади поперечного сечения, моментные характеристики определяются относительно центра эллипсоида.

Для конуса с $X=9$ при различных ω проведено сравнение результатов расчета с данными экспериментальных исследований по коэффициентам сил C_τ , C_n и коэф-

$\omega=0$

X	1	2	3	5	8	10	12	14	17
C_x	0.910	0.720	0.601	0.430	0.290	0.240	0.210	0.180	0.160
C_y	0.184	0.235	0.252	0.263	0.280	0.299	0.316	0.333	0.360
m_z	0.004	0.031	0.055	0.081	0.116	0.140	0.162	0.181	0.206

 $\omega=\pi/6$

X	1	2	3	5	8	10	15	20	25	30
C_x	0.890	0.710	0.585	0.420	0.285	0.238	0.170	0.140	0.123	0.114
C_y	0.152	0.188	0.208	0.219	0.236	0.251	0.290	0.320	0.342	0.357
C_z	0.040	0.053	0.058	0.062	0.072	0.080	0.098	0.108	0.114	0.118
$m_x \cdot 10^2$	0.395	0.280	0.280	0.325	0.390	0.430	0.480	0.470	0.445	0.420
$-m_y \cdot 10$	0.275	0.190	0.195	0.250	0.365	0.440	0.595	0.680	0.725	0.750
$m_z \cdot 10$	0.003	0.023	0.043	0.068	0.101	0.121	0.163	0.191	0.210	0.223

 $\omega=\pi/3$

X	1	2	3	4	6	8	10	12	14
C_x	0.885	0.705	0.575	0.480	0.360	0.285	0.235	0.201	0.177
C_y	0.088	0.110	0.119	0.122	0.128	0.135	0.144	0.153	0.162
C_z	0.070	0.091	0.100	0.104	0.114	0.126	0.140	0.152	0.162
$m_x \cdot 10^2$	0.410	0.290	0.290	0.310	0.360	0.405	0.438	0.465	0.470
$-m_y \cdot 10$	0.435	0.325	0.335	0.375	0.490	0.620	0.765	0.870	0.965
$m_z \cdot 10$	0.020	0.140	0.250	0.330	0.450	0.580	0.680	0.780	0.870

 $\omega=\pi/2$

X	1	2	3	4	6	8	10	12	15
C_x	0.880	0.701	0.570	0.485	0.355	0.280	0.235	0.201	0.165
C_z	0.082	0.104	0.114	0.119	0.130	0.145	0.161	0.173	0.188
$-m_y$	0.050	0.037	0.038	0.042	0.057	0.070	0.086	0.098	0.112

фициенту центра давления C_d в плоскости, проходящей через ось тела и вектор скорости набегающего потока (см. таблицу). К рассчитанному значению коэффициента C_t прибавлялось донное сопротивление, равное при $M_\infty=6$ величине 0.03.

Расчетные и экспериментальные значения аэродинамических коэффициентов хорошо согласуются между собой. Расхождение по C_t и C_d составляет доли процента. Расчетные значения коэффициента C_n лежат несколько ниже экспериментальных, что, по-видимому, объясняется влиянием пограничного слоя, которое при числах $Re \approx 2-3 \cdot 10^6$ может достигать $\approx 10\%$ значения C_n , рассчитанного в рамках уравнений идеального газа. Эта оценка получена в результате расчета обтекания тела, увеличенного на толщину вытеснения пограничного слоя.

Поступила 2 II 1976

ЛИТЕРАТУРА

- Лунев В. В., Магомедов К. М., Павлов В. Г. Гиперзвуковое обтекание притупленных конусов с учетом равновесных физико-химических превращений. М., ВЦ АН СССР, 1968.
- Любимов А. Н., Русанов В. В. Течения газа около тупых тел, ч. 1–2. М., «Наука», 1970.
- Дьяконов Ю. Н., Пчелкина Л. В., Сандромирская И. Д. Сверхзвуковое обтекание затупленных тел. Изд-во МГУ, 1971.
- Белоцерковский О. М., Головачев Ю. Л., Грудницкий В. Г. и др. Численное исследование современных задач газовой динамики. М., «Наука», 1974.
- Антонец А. В. Расчет пространственного сверхзвукового обтекания затупленных тел с изломами образующей с учетом равновесного и замороженного состояния газа в ударном слое. Изв. АН СССР, МЖГ, 1970, № 2.
- Дьяконов Ю. Н., Миносцев В. Б. Сверхзвуковое пространственное обтекание тел с изломом образующей контура. Науч. тр. Ин-та механ. МГУ, 1970, № 5.
- Бабенко К. И., Воскресенский Г. П., Любимов А. Н., Русанов В. В. Пространственное обтекание гладких тел идеальным газом. М., «Наука», 1964.
- Булах Б. М. Нелинейные конические течения газа. М., «Наука», 1970.
- Базжин А. П., Трусова О. Н., Челышева Н. Ф. Расчет течений совершенного газа около эллиптических конусов при больших углах атаки. Изв. АН СССР, МЖГ, 1968, № 4.
- Лапыгин В. И. Расчет сверхзвукового обтекания V-образных крыльев методом установления. Изв. АН СССР, МЖГ, 1971, № 3.

11. Бачманова Н. С., Лапыгин В. И., Липницкий Ю. М. Исследование сверхзвукового обтекания круговых конусов на больших углах атаки. Изв. АН СССР, МЖГ, 1973, № 6.
12. Липницкий Ю. М., Михайлов Ю. Я., Савинов К. Г. Расчет пространственных течений идеального газа без плоскости симметрии. Изв. АН СССР, МЖГ, 1972, № 3.

УДК 533.6.071.8

КОНТАКТНАЯ ЗОНА ПРИ НЕМГНОВЕННОМ ОТКРЫТИИ ДИАФРАГМЫ В УДАРНОЙ ТРУБЕ

Ю. А. ДЕМЬЯНОВ, Е. И. РУЗАВИН, Г. В. СЕКРИЕРУ

(Москва, Кишинев)

Рассматривается структура и характер движения контактной зоны при немгновенном раскрытии диафрагмы в ударной трубе для случая $Re \rightarrow \infty$ и одинаковых показателей адиабаты толкающего и толкаемого газов. Показано, что профили температур в контактной зоне являются автомодельными, и получено выражение для траектории поверхности раздела газов в контактной зоне.

1. Рассмотрим структуру и характер движения контактной зоны в ударной трубе при немгновенном открытии диафрагмы в случае, когда число Re достаточно велико, что хорошо оправдывается на практике. Тогда область течения толкаемого (индекс 1) и толкающего (индекс 2) газов можно разбить [1, 2] на внешние зоны, в которых эффектами вязкости и теплопроводности можно пренебречь, и контактную зону, в которой можно пренебречь эффектами вязкости и перепадом давления по толщине, а учитывать лишь влияние теплопроводности.

В случае одинаковых показателей адиабаты $\gamma_1 = \gamma_2 = \gamma$ теплопроводность газов в контактной зоне не оказывает влияния на течение во внешних зонах [2], которые поэтому для случая немгновенного открытия диафрагмы могут быть рассчитаны в соответствии с [3, 4]. При этом значения температур $\tau_{\infty 1}(t)$, $\tau_{\infty 2}(t)$ на контактной поверхности $x = x_{\infty}(t)$ из [4], рассчитанные по теории идеального газа, будут значениями температур на внешних границах теплопроводной зоны, в которой давление $p_{\infty}(t) = p(t, x_{\infty}(t))$.

В соответствии с [1, 2] задача сводится к следующей:

$$\begin{aligned}
 (1.1) \quad & \frac{\partial T_i}{\partial \xi} = A_i^2 \frac{\partial^2 T_i}{\partial \eta_i^2}, \quad i=1, 2 \\
 & T_1(\xi=0, \eta_1>0)=1, \quad T_2(\xi=0, \eta_2<0)=1 \\
 & T_1(\xi, \eta_1 \rightarrow \infty)=1, \quad T_2(\xi, \eta_2 \rightarrow -\infty)=1 \\
 & T_1(\xi, \eta_1=0) = \frac{\tau_{\infty 2}(t)}{\tau_{\infty 1}(t)} T_2(\xi, \eta_2=0) \\
 (1.2) \quad & \frac{\partial T_1}{\partial \eta_1}(\xi, \eta_1=0) = B \frac{\tau_{\infty 2}(t)}{\tau_{\infty 1}(t)} \frac{\partial T_2}{\partial \eta_2}(\xi, \eta_2=0) \\
 & T_i = \frac{\tau_i}{\tau_{\infty i}(t)}, \quad A_i = \sqrt{\frac{\lambda_i^\circ}{\gamma C_{p_i} R \rho_+ t^*}}, \quad \xi = \int_0^{t'} \frac{p}{p_+} dt' \\
 & \eta_i = \int_{x_{w'}}^{x'} \frac{\rho_i}{\rho_+} dx', \quad B = \frac{\lambda_2^\circ}{\lambda_1^\circ}, \quad t' = \frac{t}{t^*}, \quad x' = \frac{x}{a_+ t^*}, \quad \lambda_i^\circ = \lambda_i \tau_i^{-1}
 \end{aligned}$$

Здесь t — время, x — расстояние, ρ — плотность, a — скорость звука, t^* — время раскрытия диафрагмы, C_p — удельная теплоемкость при постоянном давлении, R — универсальная газовая постоянная, а плюсом помечены начальные параметры в камере высокого давления, $\eta=0$ на поверхности раздела газов $x=x_w(t)$.

В рамках принятой в [3, 4] схематизации течения при $\gamma_1 = \gamma_2 = \gamma$ отношение $\tau_{\infty 2}(t)/\tau_{\infty 1}(t)$ не зависит от времени. Действительно, так как по обе стороны контактной зоны $x_{\infty}(t)$ энтропия остается неизменной со временем, то